

# PŘIHLÁŠKA VYNÁLEZU

zveřejněná podle § 31 zákona č. 527/1990 Sb.

(19)  
ČESKÁ  
REPUBLIKA



ÚŘAD  
PRŮMYSLOVÉHO  
VLASTNICTVÍ

(22) Přihlášeno: 07.03.2012

(40) Datum zveřejnění přihlášky vynálezu: 05.12.2012  
(Věstník č. 49/2012)

(21) Číslo dokumentu:

**2012-159**

(13) Druh dokumentu: A3

(51) Int. Cl.:

A61K 31/282 (2006.01)  
A61K 31/437 (2006.01)  
A61P 35/00 (2006.01)

(71) Přihlašovatel:

Univerzita Palackého, Olomouc, CZ

(72) Původce:

Trávníček Zdeněk Prof. RNDr. Ph.D., Štěpánov, CZ  
Štarha Pavel Mgr. Ph.D., Dub nad Moravou, CZ  
Dvořák Zdeněk Prof. RNDr. Ph.D., Olomouc, CZ

(74) Zástupce:

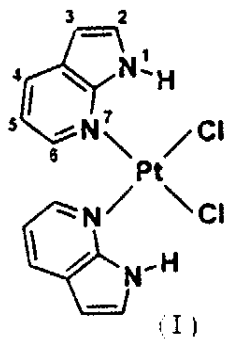
Ing. Petr Soukup, Vídeňská 8, Olomouc, 77200

(54) Název přihlášky vynálezu:

**Použití dichlorido komplexů platiny s  
halogenderiváty 7-azaindolu pro přípravu  
léčiv pro léčbu nádorových onemocnění**

(57) Anotace:

Použití dichlorido komplexů platiny v oxidačním stupni +II a jejich krystalosolvátů vycházejících ze strukturálního vzorce I, kde je alespoň jeden z atomů vodíku lokalizovaných na atomech uhlíků C3, C4 nebo C5 na 7-azaindolovém skeletu substituován alespoň jedním atomem ze skupiny chlor, brom nebo iod pro přípravu léčiv pro léčbu karcinomu vaječníku a/nebo cisplatin-resistantní lidské nádorové linie karcinomu vaječníku a/nebo karcinomu prostaty a/nebo karcinomu plic a/nebo karcinomu děložního čípku a/nebo maligního melanomu.



Použití dichlorido komplexů platiny s halogenderiváty 7-azaindolu pro přípravu léčiv pro léčbu nádorových onemocnění

### Oblast techniky

Předložený vynález se týká použití dichlorido komplexů platiny s halogenderiváty 7-azaindolu pro přípravu léčiv pro léčbu nádorových onemocnění, konkrétně pak pro léčbu karcinomu vaječníku, karcinomu prostaty, karcinomu plic, karcinomu děložního čípku a nebo maligního melanomu.

### Dosavadní stav techniky

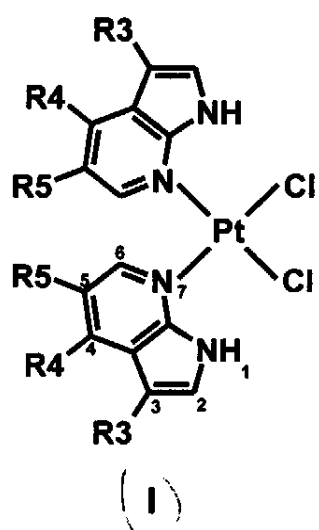
Cis-diamindichlorido-platnatý komplex, cis-[Pt(NH<sub>3</sub>)<sub>2</sub>Cl<sub>2</sub>], (*cisplatin*) je v klinické praxi používaným dichlorido komplexem platiny v oxidačním stupni +II. Je součástí protinádorové terapie a je účinný při léčbě karcinomů (např. plic nebo vaječníků), sarkomů a lymfomů. Terapeutická aplikace *cisplatin* je nicméně provázena četnými negativními vedlejšími účinky, jako je nefrotoxicita, neurotoxicita, myelosuprese nebo nausea. Mnohé typy nádorů navíc vykazují přrozenou nebo získanou rezistenci vůči *cisplatin*. Pro výše uvedené důvody je jedním ze směrů výzkumu protinádorově aktivních substancí příprava komplexů platiny, které by vykazovaly vyšší aktivitu a jejich aplikace by nebyla provázena problémy s rezistencí a zmíněnými vedlejšími negativními účinky.

Z pohledu bioanorganické chemie lze v molekule *cisplatin* rozlišit dva typy ligandů, a to ligandy odstupující (dva chloridové anionty, které jsou ve fyziologickém prostředí substituovány a následně jsou těmito pozicemi koordinovány nukleobáze molekuly DNA) a tzv. "carrier" ligandy (dvě molekuly NH<sub>3</sub>, které ve fyziologickém prostředí substituovány nejsou). V souladu se současnými poznatkami vědy je pak patrné, že vliv na výslednou protinádorovou aktivitu komplexů platiny v oxidačním stupni +II bude mít substituce alespoň jednoho z typů ligandů nebo obou těchto typů ligandů.

Předložené platnaté dichlorido komplexy s halogeno-deriváty 7-azaindolu (L), cis-[Pt(L)<sub>2</sub>Cl<sub>2</sub>], jsou příkladem derivátů *cisplatin*, které se od původní sloučeniny liší právě "carrier" ligandy, kdy jsou obě molekuly NH<sub>3</sub> nahrazeny halogeno-derivátem 7-azaindolu koordinovaným přes atom dusíku. U těchto v nedávné době připravených komplexů byla zjištěna ve srovnání s *cisplatinou* výrazně vyšší *in vitro* protinádorová aktivita vůči lidským nádorovým liniím osteosarkomu HOS a prsního adenokarcinomu MCF7, jak je uvedeno ve spise CZ 23204 U1, kde je také v daleko podrobnější míře uveden současný stav problematiky.

#### Podstata vynálezu

Podstatou vynálezu je ochrana nového použití dichlorido komplexů platiny v oxidačním stupni +II a jejich krystalosolvátů vyjádřených strukturním vzorcem (I),



kde je alespoň jeden ze substituentů R3, R4 a R5 vybrán ze skupiny: chlor, brom nebo jod, pro přípravu léčiv pro léčbu karcinomu vaječníku a/nebo *cisplatin*-resistentní lidské nádorové linie karcinomu vaječníku a/nebo karcinomu prostaty a/nebo karcinomu plic a/nebo karcinomu děložního čípku a/nebo maligního melanomu.

V návaznosti na stávající výsledky průzkumu bylo neočekávaně zjištěno, že dichlorido komplexy platiny s halogenderiváty 7-azaindolu vyjádřené obecným vzorcem *cis*-[PtCl<sub>2</sub>(L)<sub>2</sub>] a jejich krystalosolváty vykazují výraznou *in vitro* protinádorovou aktivitu vůči širokému spektru lidských nádorových linií, konkrétně vůči liniím karcinomu vaječníku, karcinomu prostaty, karcinomu plic, karcinomu děložního čípku a nebo maligního melanomu. Následným studiem na zmíněných lidských nádorových liniích a současně získaných výsledcích tedy bylo prokázáno, že protinádorová účinnost těchto komplexů je daleko širokospektrálnější, než bylo uvedeno v CZ 23204 U1 a CZ 2011-626 A3, což zvyšuje aplikovatelnost připravených sloučenin. Je třeba zdůraznit, že příčinou a nositelem výsledné protinádorové aktivity je komplex platiny a nikoliv reakční komponenty, které jsou vůči testovaným nádorovým liniím neaktivní. Velkou výhodou přihlašovaného řešení pak je zjištěný fakt, že komplexy jsou obecně aktivnější, například vůči *cisplatin*-rezistentní vaječníkové linii (A2780R) více jak 10x ve srovnání s *cisplatinou*.

Právě širokospektrálnost protinádorových účinků a tedy i spektrum možného použití uvedených sloučenin pak společně se současnou selektivitou v působení vůči *cisplatin*-rezistentní vaječníkové linii (A2780R) představují přínos předložené přihlášky vůči současnemu stavu poznání.

#### Přehled obrázků na připojených výkresech

Konkrétní příklady provedení vynálezu jsou doloženy připojenými výkresy, kde:

- obr. 1 je graf *in vitro* protinádorové aktivity komplexů *cis*-[PtCl<sub>2</sub>(L<sub>2</sub>)<sub>2</sub>] (1), *cis*-[PtCl<sub>2</sub>(L<sub>3</sub>)<sub>2</sub>]-0,75EtOH (2) a *cis*-[PtCl<sub>2</sub>(L<sub>6</sub>)<sub>2</sub>] (3) vůči lidské nádorové linii karcinomu plic A549 a jejich srovnání s *cisplatinou*; L<sub>2</sub> = 3-chlor-7-azaindol, L<sub>3</sub> = 3-iod-7-azaindol, L<sub>6</sub> = 5-brom-7-azaindol
- obr. 2 je graf *in vitro* protinádorové aktivity komplexů *cis*-[PtCl<sub>2</sub>(L<sub>2</sub>)<sub>2</sub>] (1), *cis*-[PtCl<sub>2</sub>(L<sub>3</sub>)<sub>2</sub>]-0,75EtOH (2) a *cis*-[PtCl<sub>2</sub>(L<sub>6</sub>)<sub>2</sub>] (3) vůči lidské nádorové linii maligního melanomu G361 a jejich srovnání s *cisplatinou*; L<sub>2</sub> = 3-chlor-7-azaindol, L<sub>3</sub> = 3-iod-7-azaindol, L<sub>6</sub> = 5-brom-7-azaindol

- obr. 3 je graf *in vitro* protinádorové aktivity komplexů *cis*-[PtCl<sub>2</sub>(L<sub>2</sub>)<sub>2</sub>] (1), *cis*-[PtCl<sub>2</sub>(L<sub>3</sub>)<sub>2</sub>]·0,75EtOH (2) a *cis*-[PtCl<sub>2</sub>(L<sub>6</sub>)<sub>2</sub>] (3) vůči lidské nádorové linii karcinomu děložního čípku HeLa a jejich srovnání s *cisplatinou*; L<sub>2</sub> = 3-chlor-7-azaindol, L<sub>3</sub> = 3-jod-7-azaindol, L<sub>6</sub> = 5-brom-7-azaindol
- obr. 4 je graf *in vitro* protinádorové aktivity komplexů *cis*-[PtCl<sub>2</sub>(L<sub>2</sub>)<sub>2</sub>] (1), *cis*-[PtCl<sub>2</sub>(L<sub>3</sub>)<sub>2</sub>]·0,75EtOH (2) a *cis*-[PtCl<sub>2</sub>(L<sub>6</sub>)<sub>2</sub>] (3) vůči lidské nádorové linii karcinomu vaječníku A2780 a jejich srovnání s *cisplatinou*; L<sub>2</sub> = 3-chlor-7-azaindol, L<sub>3</sub> = 3-jod-7-azaindol, L<sub>6</sub> = 5-brom-7-azaindol
- obr. 5 je graf *in vitro* protinádorové aktivity komplexů *cis*-[PtCl<sub>2</sub>(L<sub>2</sub>)<sub>2</sub>] (1), *cis*-[PtCl<sub>2</sub>(L<sub>3</sub>)<sub>2</sub>]·0,75EtOH (2) a *cis*-[PtCl<sub>2</sub>(L<sub>6</sub>)<sub>2</sub>] (3) vůči *cisplatin*-resistentní lidské nádorové linii karcinomu vaječníku A2780R a jejich srovnání s *cisplatinou*; L<sub>2</sub> = 3-chlor-7-azaindol, L<sub>3</sub> = 3-jod-7-azaindol, L<sub>6</sub> = 5-brom-7-azaindol
- obr. 6 je graf *in vitro* protinádorové aktivity komplexů *cis*-[PtCl<sub>2</sub>(L<sub>2</sub>)<sub>2</sub>] (1), *cis*-[PtCl<sub>2</sub>(L<sub>3</sub>)<sub>2</sub>]·0,75EtOH (2) a *cis*-[PtCl<sub>2</sub>(L<sub>6</sub>)<sub>2</sub>] (3) vůči lidské nádorové linii karcinomu prostaty LNCaP a jejich srovnání s *cisplatinou*; L<sub>2</sub> = 3-chlor-7-azaindol, L<sub>3</sub> = 3-jod-7-azaindol, L<sub>6</sub> = 5-brom-7-azaindol

#### Příklady provedení vynálezu

V následující části je vynález doložen, nikoli však limitován, konkrétními příklady jeho uskutečnění. Rozsah vynálezu je pak jednoznačně limitován patentovým nárokem.

Pro stanovení *in vitro* protinádorové aktivity připravených komplexů, jak je uvedeno v příkladech 1-6 byla použita mikrotitrační analýza využívající 3-(4,5-dimethylthiazol-2-yl)-2,5-difenyltetrazolium bromid (MTT). Testem jsou detekovány životaschopné buňky, přičemž jejich počtu odpovídá množství zredukovaného MTT. *In vitro* testy protinádorové aktivity byly provedeny na následujících lidských nádorových buněčných liniích: karcinom plic A549, maligní melanom G361, karcinom děložního čípku HeLa, karcinom vaječníku A2780, *cisplatin*-resistentní karcinom vaječníku A2780R a karcinom prostaty LNCaP. Linie byly udržovány v plastikových

lahvích v DMEM médiu (5 g/l glukózy, 2 mM glutaminu, 100 U/ml penicilinu, 100 µg/ml streptomycinu, 10% fetálního telecího séra a hydrogenuhličitan sodný) pro buněčné kultury. Suspenze buněk (ca  $1.25 \times 10^5$  buněk ml<sup>-1</sup>) byly rozpipetovány po 80 µl na devadesátišesti jamkové mikrotitrační desítky. Tyto byly preinkubovány při 37 °C v CO<sub>2</sub> atmosféře po dobu 24 hodin. Testované platnaté dichlorido komplexy a *cisplatinu* byly předrozpuštěny v N,N'-dimetylformamidu, naředěny do koncentrace 50.0 mM a tyto sloužily jako zásobní roztoky. Pro vlastní experiment byly zásobní roztoky ředěny 1000× v kultivačním médiu do maximální koncentrace 50.0 µM. Po odsátí kultivačního média byla směs jednotlivých testovaných látek přidána k preinkubované suspenzi nádorových buněk. Směsi byly následně inkubovány po dobu 24 h při teplotě 37 °C, 100% vlhkosti a v atmosféře CO<sub>2</sub>. Poté byl přidán roztok MTT a následovala inkubace po dobu 1 hodiny. MTT analýza byla provedena spektrofotometricky (TECAN, Schoeller Instruments LLC) při 540 nm.

Inhibiční koncentrace testovaných komplexů IC<sub>50</sub> (µM), odpovídající koncentraci testovaných látek potřebné k inhibici růstu 50% vložených nádorových buněk, byly vypočteny z dávkových křivek.

**Příklad 1:** *In vitro* protinádorová aktivita studovaných komplexů vůči lidské nádorové linii karcinomu plic A549 a jejich srovnání s *cisplatinou*

Pro stanovení *in vitro* protinádorové aktivity studovaných komplexů *cis*-[PtCl<sub>2</sub>(L<sub>2</sub>)<sub>2</sub>] (**1**), *cis*-[PtCl<sub>2</sub>(L<sub>3</sub>)<sub>2</sub>]·0,75EtOH (**2**) a *cis*-[PtCl<sub>2</sub>(L<sub>6</sub>)<sub>2</sub>] (**3**) a *cisplatinu* vůči lidské nádorové linii karcinomu plic A549 byla použita výše popsaná mikrotitrační analýza využívající MTT (L<sub>2</sub> = 3-chlor-7-azaindol, L<sub>3</sub> = 3-jod-7-azaindol, L<sub>6</sub> = 5-brom-7-azaindol).

Inhibiční koncentrace studovaných komplexů IC<sub>50</sub> (µM) se rovnají 7,2±2,3 (komplex **1**), 10,3±4,3 (komplex **2**) a 4,9±1,7 (komplex **3**), hodnota pro *cisplatinu* je 25,8±7,1 (viz obrázek 1).

**Příklad 2:** *In vitro* protinádorová aktivita studovaných komplexů vůči lidské nádorové linii maligního melanomu G361 a jejich srovnání s *cisplatinou*

Pro stanovení *in vitro* protinádorové aktivity studovaných komplexů *cis*-[PtCl<sub>2</sub>(L<sub>2</sub>)<sub>2</sub>] (1), *cis*-[PtCl<sub>2</sub>(L<sub>3</sub>)<sub>2</sub>]·0,75EtOH (2) a *cis*-[PtCl<sub>2</sub>(L<sub>6</sub>)<sub>2</sub>] (3) a *cisplatin*y vůči lidské nádorové linii maligního melanomu G361 byla použita výše popsaná mikrotitrační analýza využívající MTT (L<sub>2</sub> = 3-chlor-7-azaindol, L<sub>3</sub> = 3-iod-7-azaindol, L<sub>6</sub> = 5-brom-7-azaindol).

Inhibiční koncentrace studovaných komplexů IC<sub>50</sub> (μM) se rovnají 2,0±0,6 (komplex 1), 3,0±1,7 (komplex 2) a 0,6±0,2 (komplex 3), hodnota pro *cisplatinu* je 3,4±0,1 (viz obrázek 2).

**Příklad 3:** *In vitro* protinádorová aktivita studovaných komplexů vůči lidské nádorové linii karcinomu děložního čípku HeLa a jejich srovnání s *cisplatinou*

Pro stanovení *in vitro* protinádorové aktivity studovaných komplexů *cis*-[PtCl<sub>2</sub>(L<sub>2</sub>)<sub>2</sub>] (1), *cis*-[PtCl<sub>2</sub>(L<sub>3</sub>)<sub>2</sub>]·0,75EtOH (2) a *cis*-[PtCl<sub>2</sub>(L<sub>6</sub>)<sub>2</sub>] (3) a *cisplatin*y vůči lidské nádorové linii karcinomu děložního čípku HeLa byla použita výše popsaná mikrotitrační analýza využívající MTT (L<sub>2</sub> = 3-chlor-7-azaindol, L<sub>3</sub> = 3-iod-7-azaindol, L<sub>6</sub> = 5-brom-7-azaindol).

Inhibiční koncentrace studovaných komplexů IC<sub>50</sub> (μM) se rovnají 4,5±2,9 (komplex 1), 5,0±1,9 (komplex 2) a 4,3±1,8 (komplex 3), hodnota pro *cisplatinu* je 10,0±2,6 (viz obrázek 3).

**Příklad 4:** *In vitro* protinádorová aktivita studovaných komplexů vůči lidské nádorové linii karcinomu vaječníku A2780 a jejich srovnání s *cisplatinou*

Pro stanovení *in vitro* protinádorové aktivity studovaných komplexů *cis*-[PtCl<sub>2</sub>(L<sub>2</sub>)<sub>2</sub>] (1), *cis*-[PtCl<sub>2</sub>(L<sub>3</sub>)<sub>2</sub>]·0,75EtOH (2) a *cis*-[PtCl<sub>2</sub>(L<sub>6</sub>)<sub>2</sub>] (3) a *cisplatin*y vůči lidské nádorové linii karcinomu vaječníku A2780 byla použita výše popsaná mikrotitrační analýza využívající MTT (L<sub>2</sub> = 3-chlor-7-azaindol, L<sub>3</sub> = 3-iod-7-azaindol, L<sub>6</sub> = 5-brom-7-azaindol).

Inhibiční koncentrace studovaných komplexů  $IC_{50}$  ( $\mu M$ ) se rovnají  $2,6 \pm 0,4$  (komplex 1),  $2,4 \pm 0,7$  (komplex 2) a  $1,8 \pm 0,7$  (komplex 3), hodnota pro *cisplatinu* je  $12,0 \pm 0,8$  (viz obrázek 4).

**Příklad 5:** *In vitro* protinádorová aktivita studovaných komplexů vůči lidské nádorové linii *cisplatin*-resistentnímu karcinomu vaječníku A2780R a jejich srovnání s *cisplatinou*

Pro stanovení *in vitro* protinádorové aktivity studovaných komplexů *cis*- $[PtCl_2(L_2)_2]$  (1), *cis*- $[PtCl_2(L_3)_2] \cdot 0,75EtOH$  (2) a *cis*- $[PtCl_2(L_6)_2]$  (3) a *cisplatin* vůči lidské nádorové linii *cisplatin*-resistentního karcinomu vaječníku A2780R byla použita výše popsaná mikrotitrační analýza využívající MTT ( $L_2$  = 3-chlor-7-azaindol,  $L_3$  = 3-jod-7-azaindol,  $L_6$  = 5-brom-7-azaindol).

Inhibiční koncentrace studovaných komplexů  $IC_{50}$  ( $\mu M$ ) se rovnají  $2,7 \pm 0,7$  (komplex 1),  $2,8 \pm 0,8$  (komplex 2) a  $2,1 \pm 0,7$  (komplex 3), hodnota pro *cisplatinu* je  $27,0 \pm 4,6$  (viz obrázek 5).

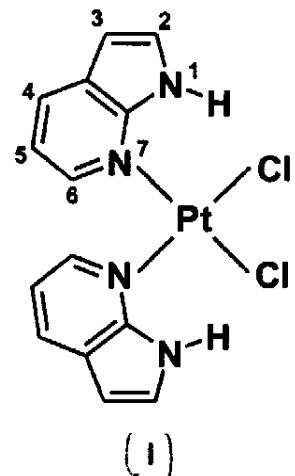
**Příklad 6:** *In vitro* protinádorová aktivita studovaných komplexů vůči lidské nádorové linii karcinomu prostaty LNCaP a jejich srovnání s *cisplatinou*

Pro stanovení *in vitro* protinádorové aktivity studovaných komplexů *cis*- $[PtCl_2(L_2)_2]$  (1), *cis*- $[PtCl_2(L_3)_2] \cdot 0,75EtOH$  (2) a *cis*- $[PtCl_2(L_6)_2]$  (3) a *cisplatin* vůči lidské nádorové linii karcinomu prostaty LNCaP byla použita výše popsaná mikrotitrační analýza využívající MTT ( $L_2$  = 3-chlor-7-azaindol,  $L_3$  = 3-jod-7-azaindol,  $L_6$  = 5-brom-7-azaindol).

Inhibiční koncentrace studovaných komplexů  $IC_{50}$  ( $\mu M$ ) se rovnají  $3,3 \pm 0,7$  (komplex 1),  $3,8 \pm 1,3$  (komplex 2) a  $1,5 \pm 0,4$  (komplex 3), hodnota pro *cisplatinu* je  $3,8 \pm 1,5$  (viz obrázek 6).

## PATENTOVÉ NÁROKY

Použití dichlorido komplexů platiny v oxidačním stupni +II a jejich krystalosolvátů vycházejících ze strukturního vzorce (I),

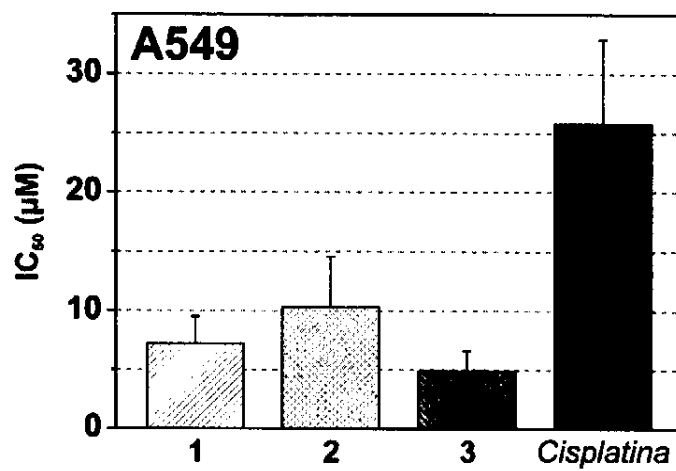


kde je alespoň jeden z atomů vodíku lokalizovaných na atomech uhlíků C3, C4 nebo C5 na 7-azaindolovém skeletu substituován alespoň jedním atomem ze skupiny chlor, brom nebo jod pro přípravu léčiv pro léčbu karcinomu vaječníku a/nebo *cisplatin*-resistentní lidské nádorové linie karcinomu vaječníku a/nebo karcinomu prostaty a/nebo karcinomu plic a/nebo karcinomu děložního čípku a/nebo maligního melanomu.

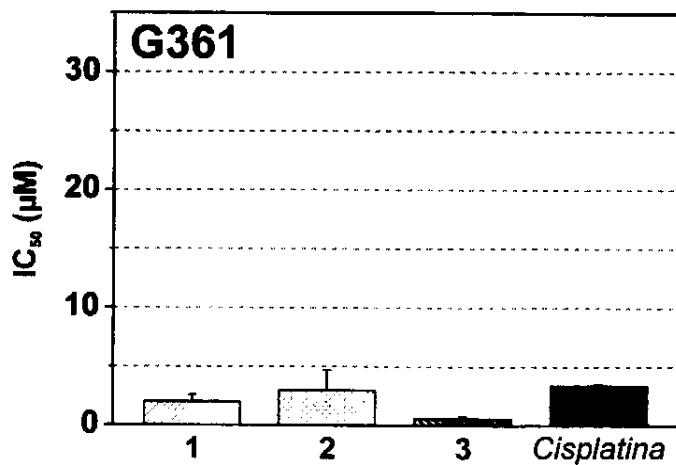
TISK

IV 2012-159

011-001-112

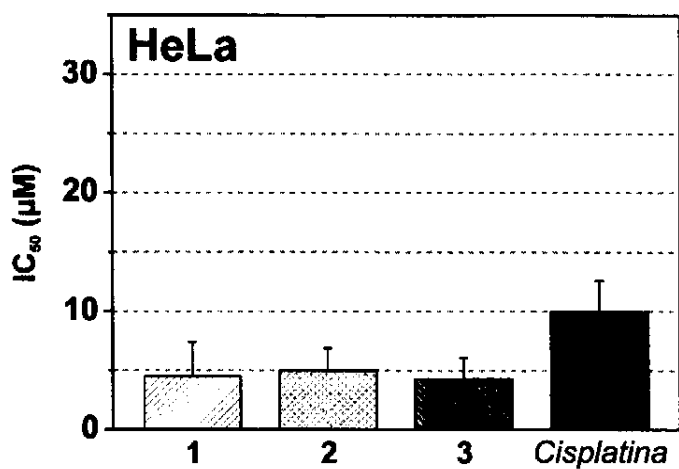
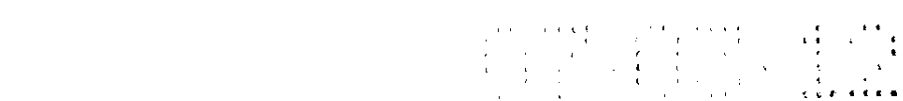


**OBR. 1**

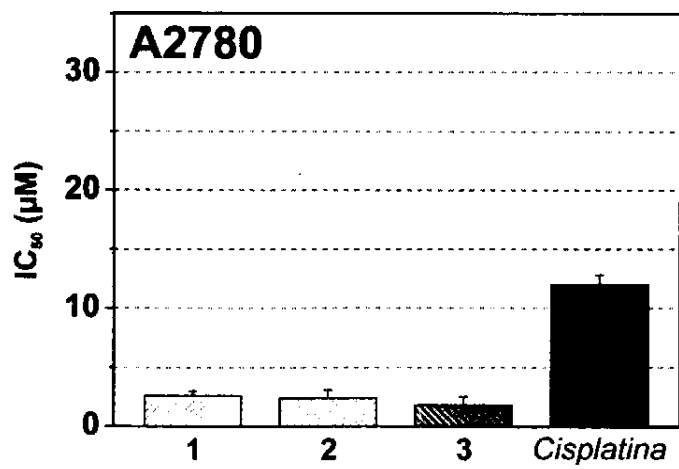


**OBR. 2**

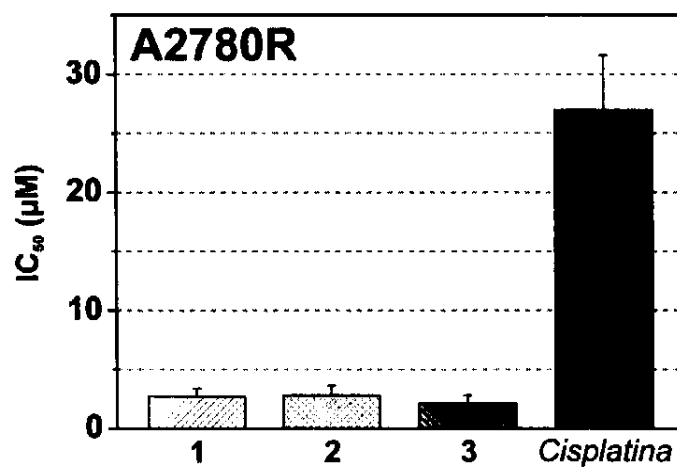
113



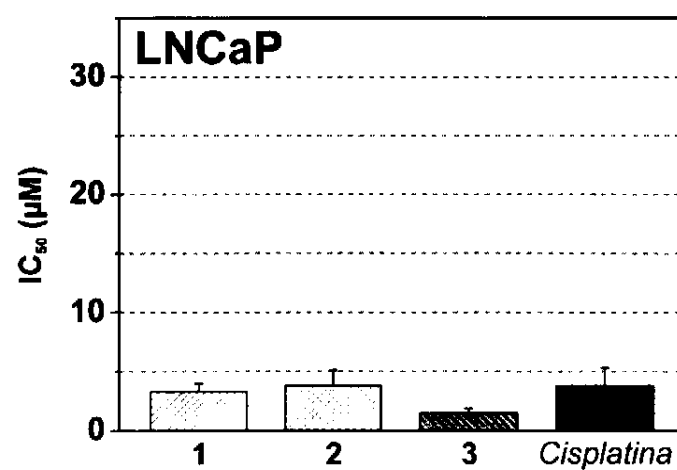
OBR. 3



OBR. 4



**OBR. 5**



**OBR. 6**

3/1